

Electro DC

Charge électrique

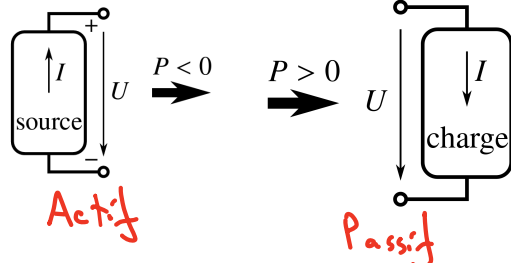
$$e = 1,602 \cdot 10^{-19} C$$

$$[C] = [As]$$

Courant électrique

Densité courant: $J = \frac{I}{A}$

Dipôles



Résistance

$$R = \frac{U}{I} \quad \text{Conductance: } G = \frac{1}{R} \quad [S] \text{ siemens}$$

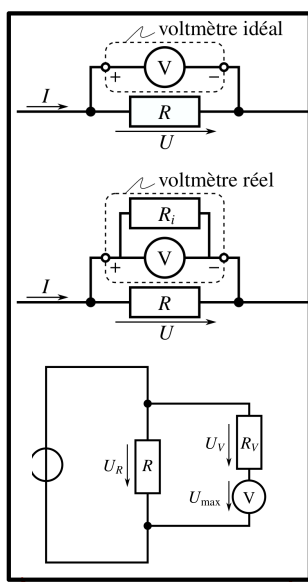
$$R = \frac{\rho \cdot l}{A} \quad l \text{ [m]} \quad A \text{ [mm}^2\text{]} \quad \text{résistivité: } \rho \text{ [}\Omega \text{ mm}^2 \text{/m]}$$

Résistances à coefficient

$$R(T) = R_{20} [1 + \alpha (T - 20)] \quad \text{PTC}$$

$$\frac{R(T_2)}{R(T_1)} = e^{B \left(\frac{1}{T_2} - \frac{1}{T_1} \right)} \quad \text{NTC} \quad T \Rightarrow [K] \quad \text{kelvin!} \quad B \text{ const. [K]}$$

Instruments mesure



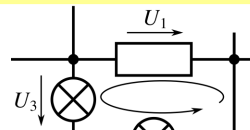
Extension mesure:

$$R_v = R; \frac{U_R - U_{max}}{U_{max}}$$

$$I_{max} = \frac{U_{max}}{R}$$

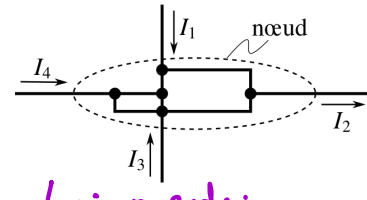
$$I_{max} = \frac{U_R - U_{max}}{R_v}$$

Lois de Kirchhoff



Loi mailles:

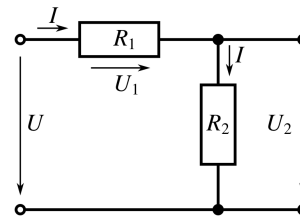
$$\sum_{i=1}^n U_i = 0$$



Loi noeuds:

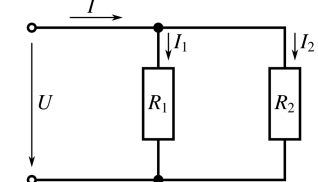
$$\sum_{i=1}^n I_i = 0$$

Diviseurs de tension et de courant



$$I = \frac{U_2}{R_2} = \frac{U}{R_1 + R_2}$$

$$U_2 = U \frac{R_2}{R_1 + R_2}$$

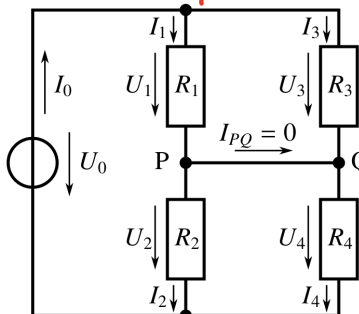


$$U = R_2 I_2 = \frac{IR_1 R_2}{R_1 + R_2}$$

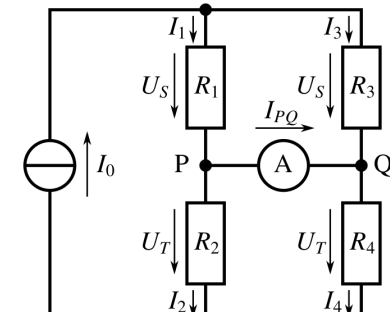
$$I_2 = I \frac{R_1}{R_1 + R_2}$$

Montage en pont

Pont équilibré

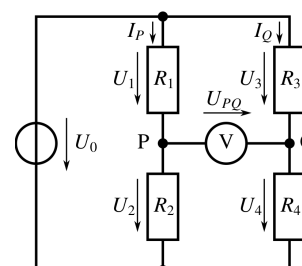


$$\frac{R_1}{R_3} = \frac{R_2}{R_4}$$



$$I_{PQ} = I_1 - I_2 = \frac{U_S}{R_1} - \frac{U_T}{R_2}$$

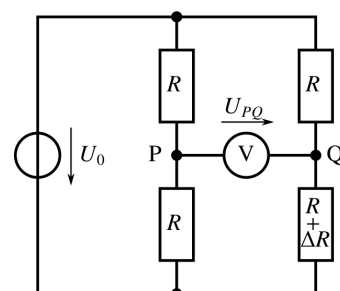
$$I_{PQ} = I_0 \left(\frac{R_3}{R_1 + R_3} - \frac{R_4}{R_2 + R_4} \right)$$



Pont non équilibré sans conducteur PQ

$$U_{PQ} = U_2 - U_4 = R_2 I_P - R_4 I_Q$$

$$U_{PQ} = U_0 \left(\frac{R_2}{R_1 + R_2} - \frac{R_4}{R_3 + R_4} \right)$$

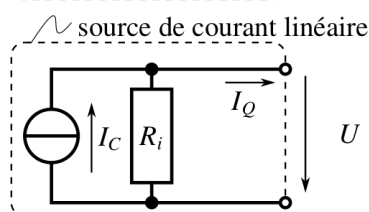
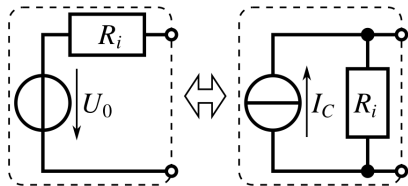
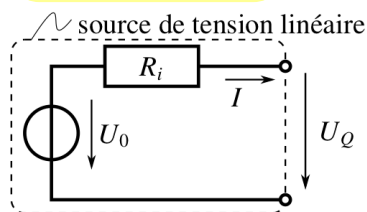


Mesure facile variation de rés

$$R_1 = R_2 = R_3 = R_4 := R$$

$$U_{PQ} = -\frac{U_0}{4} \frac{\Delta R}{R}$$

Sources réelles



Équivalence:
 $U_0 = R_i \cdot I_C$

Puissance Source de tension

$$P(R_L) = U_0^2 \frac{R_L}{(R_L + R_i)^2}$$

$$P_{\max} \text{ quand } R_i = R_L \Rightarrow P_{\max} = \frac{U_0^2}{4R_i}$$

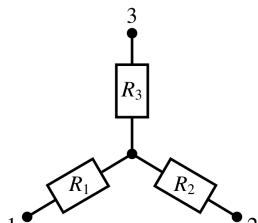
Réseaux de résistances

Transformation triangle – étoile

$$R_1 = \frac{R_{31}R_{12}}{R_{12} + R_{23} + R_{31}}$$

$$R_2 = \frac{R_{12}R_{23}}{R_{12} + R_{23} + R_{31}}$$

$$R_3 = \frac{R_{23}R_{31}}{R_{12} + R_{23} + R_{31}}$$

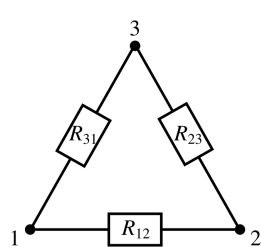


Transformation étoile – triangle

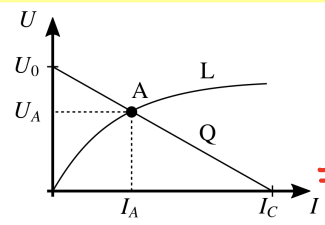
$$R_{12} = R_1 + R_2 + \frac{R_1R_2}{R_3}$$

$$R_{23} = R_2 + R_3 + \frac{R_2R_3}{R_1}$$

$$R_{31} = R_3 + R_1 + \frac{R_3R_1}{R_2}$$



Point de fonctionnement



Superposé la courbe de la source à la courbe de la charge.
 \Rightarrow point de fonctionnement de la charge L

Linéariser une courbe:

$$R_s = \frac{U_x}{I_x} \text{ rés. statique à } x$$

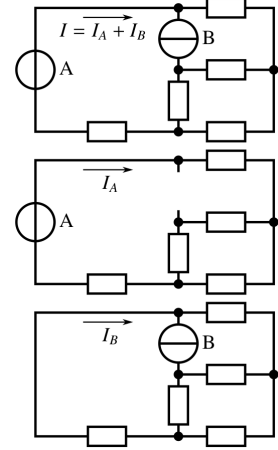
$$R_d = \frac{dU}{dI} = \frac{U_2 - U_1}{I_2 - I_1} \text{ rés. dyn. (pente à } x)$$

$$U(I) = RI_x + R_d(I - I_x)$$

$$U(I) = R_d \cdot I + (R - R_d) \cdot I_x$$

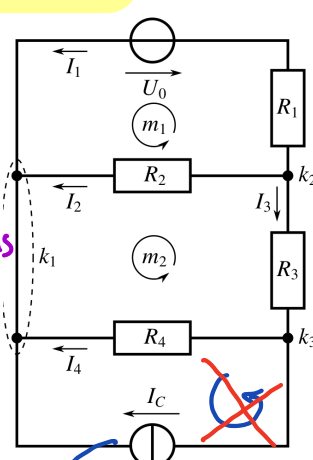
Analyse par superposition

Source de tension
 \Rightarrow remplacer par un court-circuit



Source de courant
 \Rightarrow interruption

Principe: calculer un courant pour chaque schéma et additionner pour I_{tot}



Analyse complète des courants

Il faut:

$k-1$ équations de noeuds
 m équations de mailles

Principe: noter les équations du système et résoudre avec rref la matrice augmentée

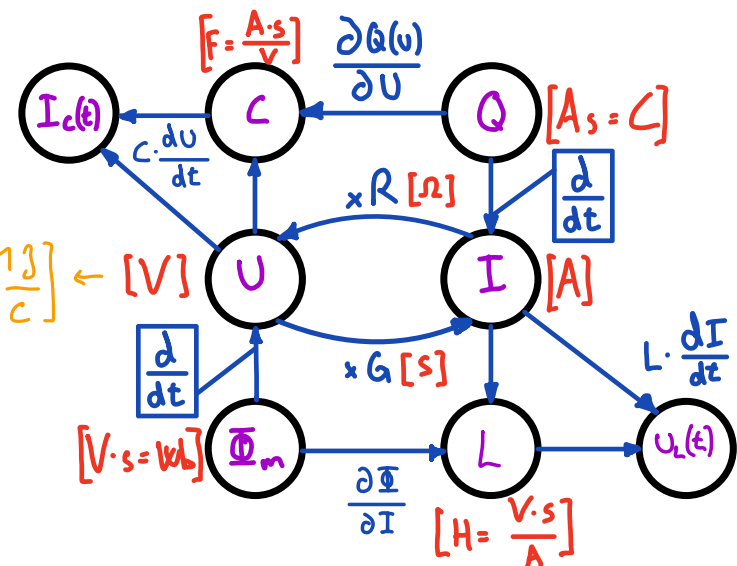
$$\begin{pmatrix} 0 \\ I_C \\ U_0 \\ 0 \end{pmatrix} = \begin{pmatrix} -1 & -1 & -1 & 0 \\ 0 & 0 & 1 & -1 \\ R_1 & -R_2 & 0 & 0 \\ 0 & +R_2 & -R_3 & -R_4 \end{pmatrix} \begin{pmatrix} I_1 \\ I_2 \\ I_3 \\ I_4 \end{pmatrix}$$

$$A_R \cdot I_x = b$$

\downarrow
 Coefficients
 des rés.

\downarrow
 vecteur
 courant
 à trouver

⚠ la branche
 contenant une source
 de courant est
 factice
 \Rightarrow pas de maille



Condensateurs

$$[C] = \frac{A \cdot s}{V}$$

$$C = \frac{\partial Q(U)}{\partial U} = \frac{Q}{U}$$

s: linéaire
⇒ C est constant

$$I(t) = \frac{dQ(t)}{dt}$$

$$I_c(t) = C \cdot \dot{U}_c(t)$$

Permittivité

$$\epsilon = \epsilon_r \cdot \epsilon_0 \left[\frac{A \cdot s}{V \cdot m} \right]$$

$$\epsilon_0 = 8,854 \cdot 10^{-12} \frac{A \cdot s}{Vm}$$

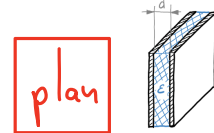
Parallèle / série

$$C_{par} = \sum_{i=1}^N C_i$$

$$\frac{1}{C_{ser}} = \sum_{i=1}^N \frac{1}{C_i}$$

Types de condensateurs

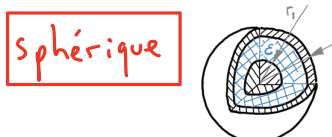
$$C'' = \frac{\epsilon}{d} \left[F/m^2 \right]$$



$$C' = \frac{2\pi\epsilon}{\ln(r_2/r_1)} \left[F/m \right]$$



$$C = \frac{4\pi\epsilon}{1 - \frac{1}{r_2}} \left[F \right]$$



Energie et puissance

$$W(t) = C \cdot \frac{U^2}{2} = \frac{1}{C} \cdot \frac{Q^2}{2} \left[J \right]$$

$$P(t) = \frac{dW(t)}{dt} = C \cdot \dot{U}(t) \cdot U(t) \left[\frac{J}{s} = W \right]$$

$$Q_C = \frac{U_C}{X_C} = X_C \cdot I_C^2 \left[\text{var} \right]$$

Champs magnétique

Champ d'induction magn. (densité ligne champs)

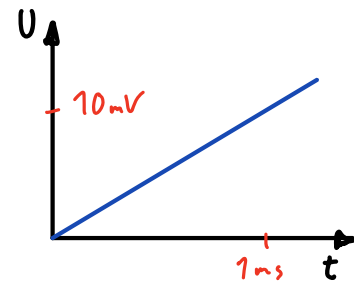
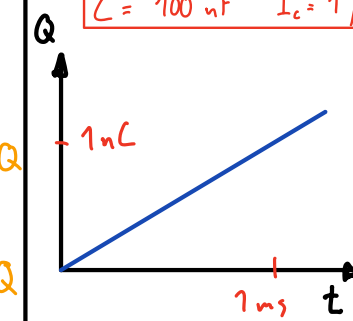
$$B = \mu \cdot H \quad [T] = \left[\frac{N}{A^2} \right] \cdot \left[\frac{A}{m} \right] = \left[\frac{Vs}{m^2} \right]$$

$$\text{Intensité du champ: } H = \frac{N \cdot I}{l} \quad \left[\frac{A}{m} \right] = \left[\frac{Vs \cdot A}{m} \right]$$

Flux magnétique

$$\Phi = B \cdot S \quad \text{surface perp. au flux} \quad [m^2]$$

$$C = 100 \text{ nF} \quad I_c = 1 \mu\text{A}$$



$$I = \frac{dQ}{dt}$$

$$\Rightarrow m_U = \left[\frac{A \cdot s}{s} \right]$$

$$m_U = \frac{I}{C} = \left[\frac{A}{A \cdot s} \right]$$

$$\Delta t = \frac{U}{m_U} = \frac{C \cdot U}{I}$$

Constante de temps

$$I = R \cdot C$$

\downarrow résistance équivalente!

$$\tau = \frac{|U_{C\infty} - U_{C0}|}{|m_U|}$$

Charges

$$U_C(t) = U_{C0} + (U_{C\infty} - U_{C0}) \cdot \left\{ 1 - e^{-\frac{t-t_0}{\tau}} \right\}$$

$$i_C(t) = I_{C0} \cdot e^{\frac{-t}{\tau}} \quad t = -R \cdot C \cdot \ln \left(1 - \frac{U_C}{U_{C\infty}} \right)$$

Décharge

$$U_C(t) = U_{C0} \cdot e^{\frac{-t}{\tau}}$$

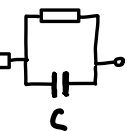
$$i_C(t) = I_{C0} \cdot e^{\frac{-t}{\tau}}$$

$$t = -R \cdot C \cdot \ln \left(\frac{U_C}{U_{C\infty}} \right)$$

Types condensateur:

	Céram.	film plastique	électrolytique
fréq élevée	+	++	-
Capacité / taille	+	-	++
Variable en température	+	++	-
Capacité	pF \rightarrow μ F	pF \rightarrow 300 μ F	

Condensateur réel:



Bobine

Permeabilité

$$N_0 = 1,256637 \cdot 10^{-6} \frac{N}{A^2}$$

$$N = N_0 \cdot N_r$$

Loi de Faraday

$$U = \frac{d\Phi_m}{dt}$$

Induction mutuelle

$$U = \underbrace{\frac{\partial \Phi_m(I_2)}{\partial I_2}}_{M(I_2)} \cdot \frac{dI_2(t)}{dt} = M(I_2) \cdot \frac{dI_2(t)}{dt}$$

$$\begin{aligned} M &\propto \mu \cdot N_1 \cdot N_2 \\ \Rightarrow M &= N_1 \cdot N_2 \cdot L_0 \quad [H] \end{aligned}$$

Auto-induction

$$U = \underbrace{\frac{\partial \Phi_m(I)}{\partial I}}_{L(I)} \cdot \frac{dI(t)}{dt} = L(I) \cdot \frac{dI(t)}{dt}$$

$$\begin{aligned} L &\propto \mu \cdot N^2 \\ \Rightarrow L_1 &= N_1^2 \cdot L_0 \quad [H] \end{aligned}$$

Transformateur linéaire

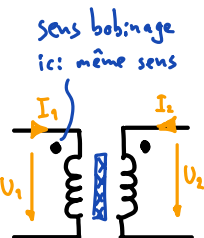
$$U_1(t) = L_1 \cdot \dot{I}_1(t) + M \dot{I}_2(t)$$

$$U_2(t) = M \dot{I}_1(t) + L_2 \dot{I}_2(t)$$

$$-1 \leq k_m = \frac{M}{\sqrt{L_1 \cdot L_2}} \leq +1$$

transf. sans perte de flux $(k_m > 0)$

Δ $k_m > 0$ si bobine même sens
sinon $k_m < 0$



$$U_1(t) = N_1^2 L_0 \cdot \dot{I}_1(t) \pm N_1 N_2 L_0 \cdot \dot{I}_2(t)$$

$$U_2(t) = \pm N_1 N_2 L_0 \cdot \dot{I}_1(t) + N_2^2 L_0 \cdot \dot{I}_2(t)$$

Energie, puissance

$$P = \frac{dW}{dt} = U \cdot I = L \cdot \dot{I} \cdot I \quad [W]$$

$$W = \frac{1}{2} L \cdot I^2 \quad [J]$$

$$Q_L = \frac{U_L^2}{X_L} = X_L \cdot I_L^2 \quad [\text{var}]$$

Couplages

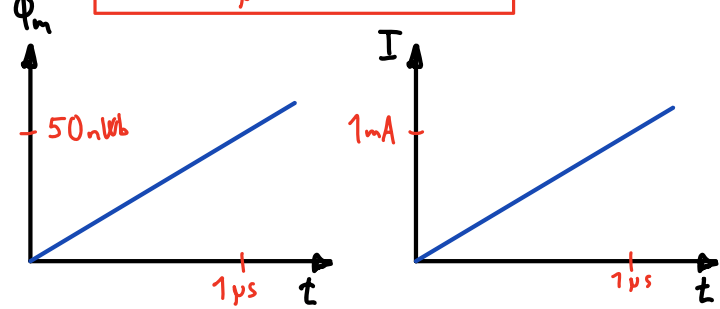
$$L_{\text{ser}} = \sum_{i=1}^N L_i$$

$$\frac{1}{L_{\text{par}}} = \sum_{i=1}^N \frac{1}{L_i}$$

Flux magnétique emmagasiné

$$\Phi_m = L \cdot I \quad [\text{Wb}]$$

$$L = 50 \mu H \quad U = 50 \text{ mV}$$



$$U = \frac{d\Phi}{dt}$$

$$\Rightarrow m_\Phi = U = \left[\frac{V \cdot s}{s} \right]$$

$$m_I = \frac{dI}{dt} = \left[\frac{A}{s} \right]$$

$$m_I = \frac{U}{L} = \frac{V}{A \cdot s}$$

$$\Delta t = \frac{I}{m} = \frac{L \cdot I}{U}$$

Constante de temps

$$T = \frac{L}{R}$$

résistance équivalente

$$T = \frac{|I_{L\infty} - I_{L0}|}{|m_I|}$$

Charges

$$i_L(t) = I_{L0} + (I_{L\infty} - I_{L0}) \cdot \left\{ 1 - e^{-\frac{t-t_0}{T}} \right\}$$

$$U_L(t) = U_{L0} \cdot e^{-\frac{t}{T}} \quad t = -R \cdot C \cdot \ln \left(1 - \frac{i_L}{I} \right)$$

Décharge tension au début de la charge sur la bobine

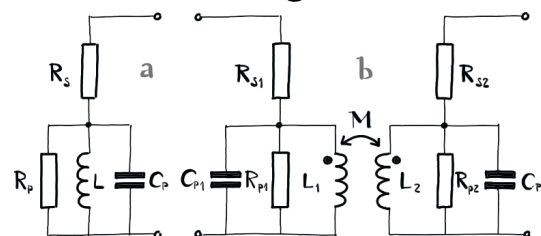
$$i_L(t) = I_{L0} \cdot e^{-\frac{t}{T}}$$

$$U_L(t) = U_{L0} \cdot e^{-\frac{t}{T}} \quad t = -R \cdot C \cdot \ln \left(\frac{i_L}{I} \right)$$

Types de bobines:

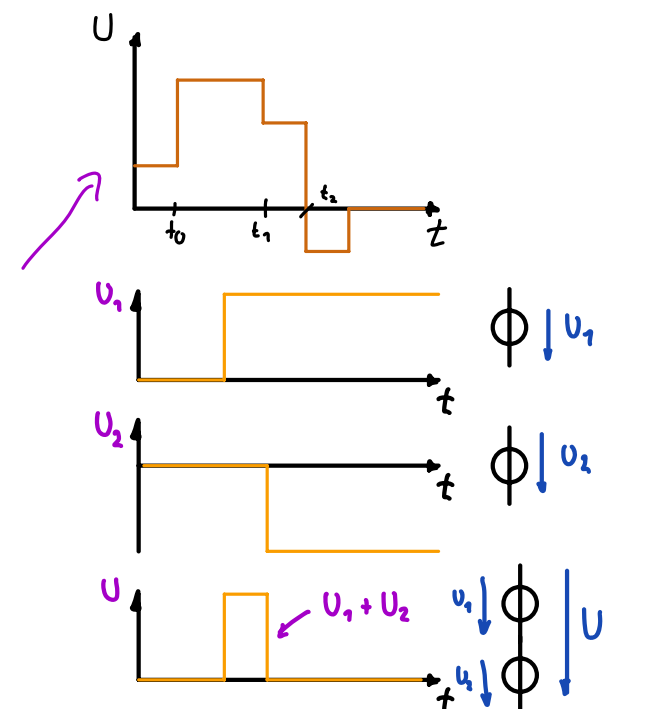
- Bobine à air
- Bobine à noyau

Bobine et transformateur réels:



Comportements transitoires 1^{er} ordre

- Critères : - une seul bobine ou cond. (linéaires)
 - Nombre résistances \rightarrow illimité
 - Nombre sources ayant des sauts \rightarrow illimité



Principe de superposition

But: transformer 1 source à sauts multiples en multiples sources à 1 seul saut

Evaluation d'un transitoire 1^{er} ordre

1. Evaluer l'état initial pour $t < t_0$
2. Evaluer l'état final pour $t \rightarrow \infty$
3. Constante de temps et évolution temporelle

S'il y a un circuit avec composant en série et parallèle \Rightarrow utiliser la loi des noeuds de Kirchhoff pour trouver les courants de cond. / bobine

1. Initial $t < t_0$

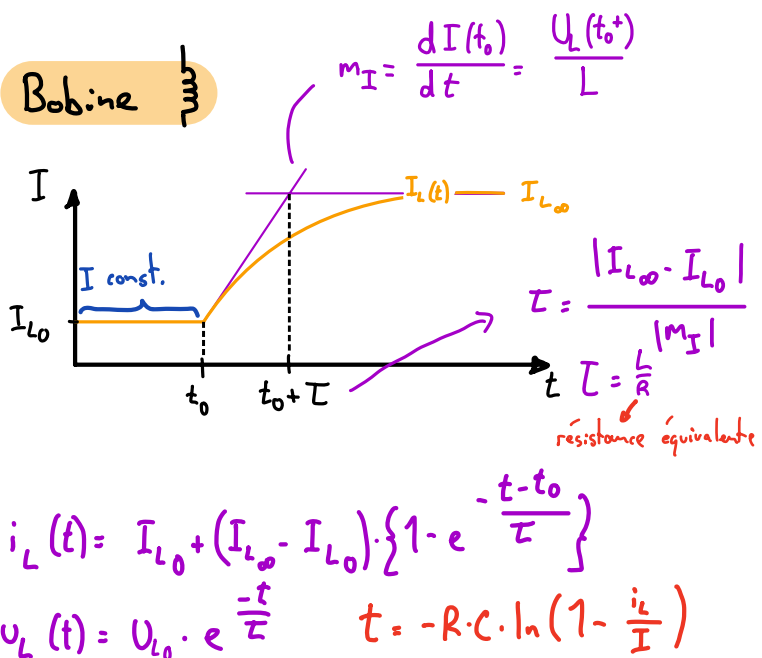
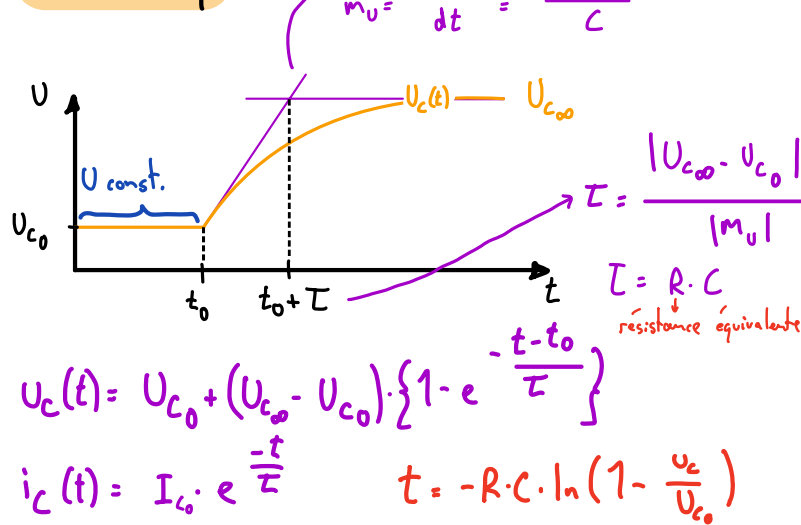
- Etat stationnaire (tous courants, tensions = constant)
- Courants condo. disparaissent $I_C = 0$
 $U_C = U_{C_0}$
 \Rightarrow circuit ouvert
- Tensions bobines disparaissent $U_L = 0$
 $I_L = I_{L_0}$
 \Rightarrow court-circuit

2. Final $t \rightarrow \infty$

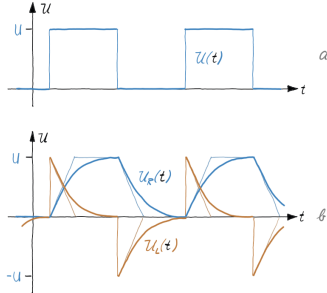
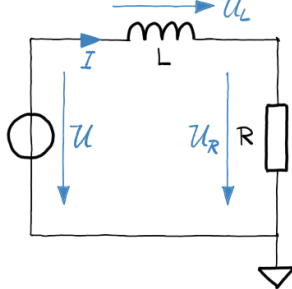
- Etat stationnaire
- Tension / courant de source après le saut
- Cond. \rightarrow circuit ouvert $I_C(t \rightarrow \infty) = 0$
 $U_C(t \rightarrow \infty) = U_{C_\infty}$
- Bobine \rightarrow court-circuit $U_L(t \rightarrow \infty) = 0$
 $I_L(t \rightarrow \infty) = I_{L_\infty}$

3. Evolution temporelle (charges)

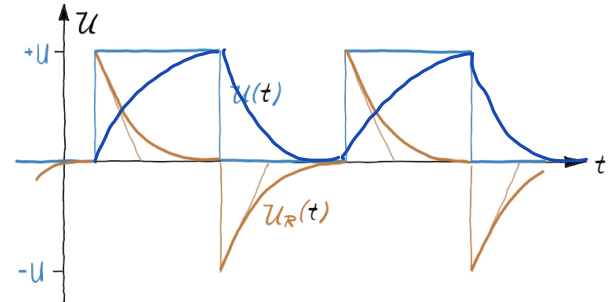
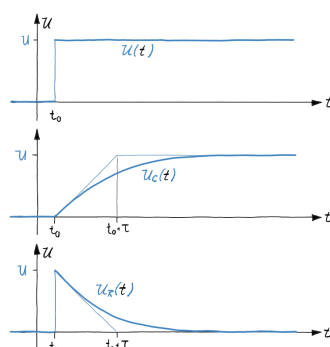
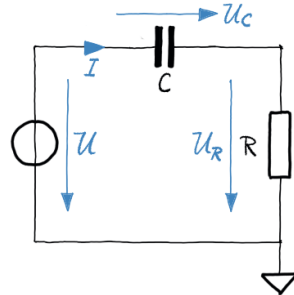
Cond. $\frac{1}{C}$



Suppression flanc tension



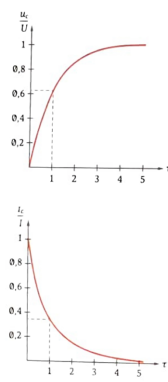
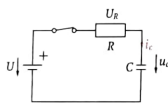
Transmission de flanc de tension



CONDENSATEUR EN COURANT CONTINU

Charge, voir p 21 "champ électrique"

Constante de temps



Charge

$$\tau = R \cdot C$$

$$u_c = U(1 - e^{-t/\tau})$$

$$t = -\tau \cdot \ln(1 - \frac{u_c}{U})$$

$$R = \frac{-t}{C \cdot \ln(1 - \frac{u_c}{U})}$$

$$C = \frac{-t}{R \cdot \ln(1 - \frac{u_c}{U})}$$

$$i_c = I \cdot e^{-t/\tau}$$

$$I = \frac{U}{R} \text{ à } t = 0 [A]$$

$$i_c = \frac{U - u_c}{R} = \frac{u_R}{R}$$

i_c	u_c
1τ	$0,37 \cdot I$
2τ	$0,14 \cdot I$
3τ	$0,05 \cdot I$
4τ	$0,02 \cdot I$
5τ	$\approx 0 [A]$

i_c	u_c
1τ	$0,63 \cdot U$
2τ	$0,86 \cdot U$
3τ	$0,95 \cdot U$
4τ	$0,98 \cdot U$
5τ	$\approx U$

R

Résistance [Ω]

C

Capacité [F]

τ

Constante de temps [s]

U_c

Valeur instantanée de la tension aux bornes du condensateur au temps t considéré [V]

i_c

Valeur instantanée du courant dans le condensateur au temps t considéré [A]

t

Temps considéré [s]

e

Base des logarithmes naturels ($e = 2,718\dots$)

ln

Logarithme naturel

U

Tension d'alimentation [V]

I

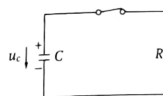
Courant au début de la charge à $t = 0$ s [A]

U_R

Tension aux bornes de R [V]

Condensateur en courant continu

Décharge



$$u_c = U \cdot e^{-t/\tau}$$

$$R = \frac{-t}{C \cdot \ln(\frac{u_c}{U})}$$

$$C = \frac{-t}{R \cdot \ln(\frac{u_c}{U})}$$

$$t = -R \cdot C \cdot \ln(\frac{u_c}{U})$$

$$t = -\tau \cdot \ln(\frac{u_c}{U})$$

$$i_c = I \cdot e^{-t/\tau}$$

$$I = \frac{U}{R} \text{ et } i_c = \frac{u_c}{R} = \frac{U_R}{R}$$

u_c

Valeur instantanée de la tension aux bornes du condensateur au temps t considéré [V]

i_c

Valeur instantanée du courant dans le condensateur au temps t considéré [A]

U

Tension aux bornes du condensateur au début de la décharge à $t = 0$ s [V]

t

Temps [s]

e

Base des logarithmes naturels ($e = 2,718\dots$)

R

Résistance [Ω]

C

Capacité du condensateur [F]

τ

Constante de temps [s]

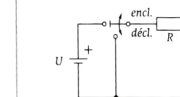
I

Courant au début de la décharge à $t = 0$ s [A]

ln

Logarithme naturel

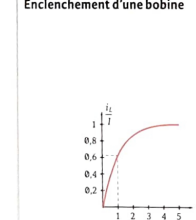
INDUCTANCE EN COURANT CONTINU



$$i_L = \frac{L}{R}$$

$$u_L = U \cdot e^{-t/\tau}$$

Enclenchement d'une bobine



$$i_L = I(1 - e^{-t/\tau})$$

$$t = -\tau \cdot \ln(1 - \frac{i_L}{I})$$

$$R = \frac{-t}{L \cdot \ln(1 - \frac{i_L}{I})}$$

$$L = \frac{-R \cdot t}{\ln(1 - \frac{i_L}{I})}$$

$$I = \frac{U}{R} \text{ et } i_L = \frac{u_L}{R} = \frac{U_R}{R}$$

τ

Constante de temps [s]

L

Inductance [H]

R

Résistance série [Ω]

u_L

Valeur instantanée de la tension aux bornes de l'inductance au temps t considéré [V]

U

Tension d'alimentation [V]

t

Temps considéré [s]

i_L

Valeur instantanée du courant dans l'inductance au temps t considéré [A]

I

Courant maximal dans le circuit [A]

ln

Logarithme naturel

e

Base des logarithmes naturels ($e = 2,718\dots$)

u_R

Tension instantanée aux bornes de R au temps t considéré [V]

Déclenchement d'une bobine



$$i_L = I \cdot e^{-t/\tau}$$

$$t = -\tau \cdot \ln(\frac{i_L}{I})$$

$$R = \frac{-t}{L \cdot \ln(\frac{i_L}{I})}$$

$$L = \frac{-R \cdot t}{\ln(\frac{i_L}{I})}$$

i_L

Value instantanée du courant dans l'inductance au temps t considéré [A]

I

Courant maximal dans le circuit [A]

ln

Logarithme naturel

e

Base des logarithmes naturels ($e = 2,718\dots$)

Comportements en AC

Pour $f \rightarrow \infty$

Condensateur → court-circuit
bobine → circuit ouvert

Pour $f \rightarrow 0$

Condensateur → circuit ouvert
bobine → court-circuit

Courant alternatif

⚠ Calculatrice en radians

Fonction cosinus

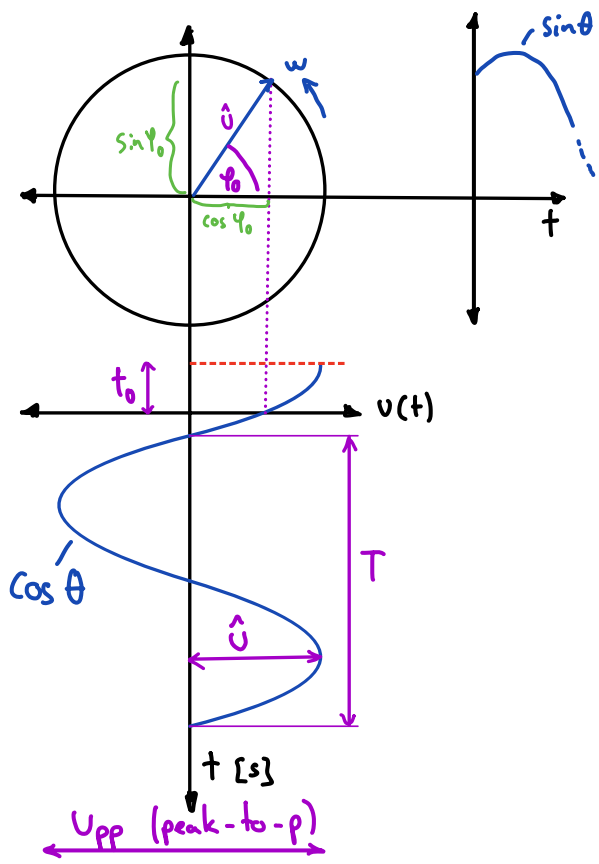
$$v(t) = \hat{U} \cdot \cos(\omega t + \phi_0)$$

Pulsation: $\omega = 2\pi f$ [rad/s]

fréquence: $f = \frac{1}{T}$ [Hz]

période: T [s]

phase: $\phi_0 = \frac{2\pi}{T} \cdot t_0$ [rad]



Impédance

$$Z = \frac{\underline{U}(t)}{\underline{I}(t)} = \frac{\hat{U} \cdot e^{j\omega t}}{\hat{I} \cdot e^{j\omega t} \cdot e^{j\phi_i}} = \frac{\hat{U}}{\hat{I}} \cdot e^{j(\phi_u - \phi_i)}$$

$$i(t) = \frac{\hat{U}}{\hat{I}} \cdot \cos(\omega t + \phi_i) \quad v(t) = \hat{U} \cdot \cos(\omega t + \phi_u)$$

$$\underline{Z}_C = \frac{-j}{\omega \cdot C} = \frac{1}{j\omega \cdot C}$$

$$\phi_i = \phi_u - \frac{\pi}{2}$$

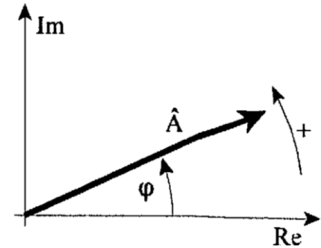
$$\underline{Z}_L = \omega \cdot L \cdot j$$

$$\phi_u = \phi_i - \frac{\pi}{2}$$

Représentation complexe

Amplitude complexe:

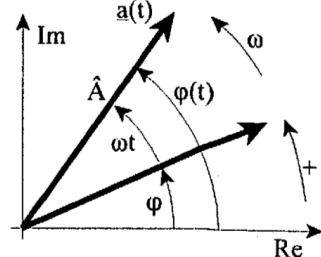
$$\underline{U} = \hat{U} \cdot e^{j\phi_0}$$



Valeur instantanée complexe:
(vecteur complexe)

Polaire:

$$\underline{U}(t) = \hat{U} \cdot e^{j(\omega t + \phi_0)} = \hat{U} \Delta (\omega t + \phi_0)$$



Cartésien:

$$\underline{U}(t) = \underbrace{\hat{U} \cos(\omega t + \phi_0)}_{\text{Re}} + j \underbrace{\hat{U} \sin(\omega t + \phi_0)}_{\text{Im}}$$

$$Re = U(t) = \hat{U} \cdot \cos(\omega t + \phi_0) \Rightarrow \text{tension instantanée réelle}$$

Notations complexes: critères

1. Linéarité des composants
2. Invariance temporelle des caractéristiques
3. Sources cosinusoidales de même fréquence
4. Régime cosinusoidal établi:
↳ disparition des transitoires

Série:

$$\underline{Z} = \sum_{i=1}^M \underline{Z}_i$$

Parallèle:

$$\frac{1}{\underline{Z}} = \sum_{i=1}^n \frac{1}{\underline{Z}_i}$$

Admittance

$$Y = \frac{1}{\underline{Z}}$$

$$\begin{cases} \hat{U} = \sqrt{2} \cdot U \\ \hat{U} = \sqrt{2} \cdot u \end{cases}$$

$$\omega = 2\pi \cdot f$$

$$\cos(\omega t) = \sin(\omega t + \frac{\pi}{2})$$

$$-\frac{j}{\omega C} \cdot \frac{j}{\omega} = \frac{1}{j\omega C}$$

Kirchhoff complexe

$$\sum_{k=1}^M \hat{I}_k = 0 \quad \sum_{k=1}^N \hat{U}_k = 0$$

Principe de superposition

Reste valable en complexe !

Les grandeurs continues sont remplacées par des amplitudes ou valeurs complexes

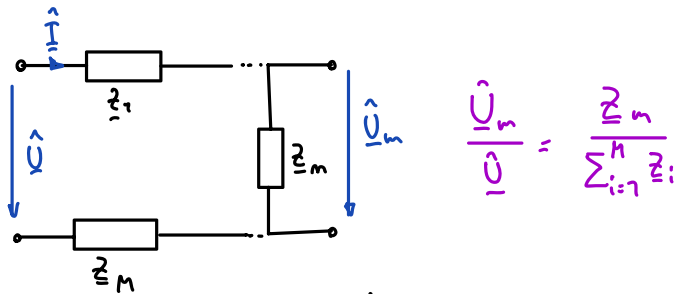
- Itération pour chaque source puis addition des courants et tension

$\odot \Rightarrow$ annuler par court-circuit
 $\odot \Rightarrow$ annuler par interruption

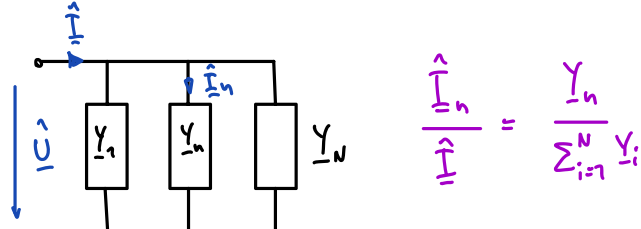
Transformation de circuits

Equivalence des sources $\hat{U}_0 = \hat{I}_c \cdot \hat{z}_i$

Diviseur de tension



Diviseur courant



Dérivation/intégration complexe

$$\frac{d}{dt} \xrightarrow{\cdot j2\pi f} \text{multiplier par } j2\pi f$$

$$\int dt \xrightarrow{\frac{1}{j2\pi f}}$$

Fonctions de transfert

- Rapport des amplitudes complexes de deux variables d'un circuit
- L'amplitude A_v est exprimée par son niveau en dB : $L_v = 20 \log_{10} |A_v|$
- La phase est exprimée en radians.

Diagram showing four terminals labeled 1, 2, 3, 4. Terminal 1 is connected to \hat{U}_0 and terminal 2 to \hat{I}_0 . Terminals 3 and 4 are connected in series. The voltage across terminals 3 and 4 is \hat{U}_i and the current through them is \hat{I}_i .

1. $A_v(f) = \frac{\hat{U}_0}{\hat{U}_i} \rightarrow$ gain tension
2. $A_I(f) = \frac{\hat{I}_0}{\hat{I}_i} \rightarrow$ gain courant
3. $\hat{z}(f) = \frac{\hat{U}_0}{\hat{I}_i} \rightarrow$ transimpédance
4. $\hat{Y}(f) = \frac{\hat{I}_0}{\hat{U}_i} \rightarrow$ transadmittance

Souvent $H(f) = \dots$

Factorisation

Toute fonction de transfert est une fonction rationnelle de l'argument $j2\pi f$ (Puissances 0, 1, 2...) à coefficients réels (produit ou rapport de R, C, L)

$$A_v(f) = A_0 \frac{1 + a_1 j2\pi f + a_2 (j2\pi f)^2 + \dots}{1 + b_1 j2\pi f + b_2 (j2\pi f)^2 + \dots}$$

Il existe trois types de facteurs qui permettent la représentation graphique

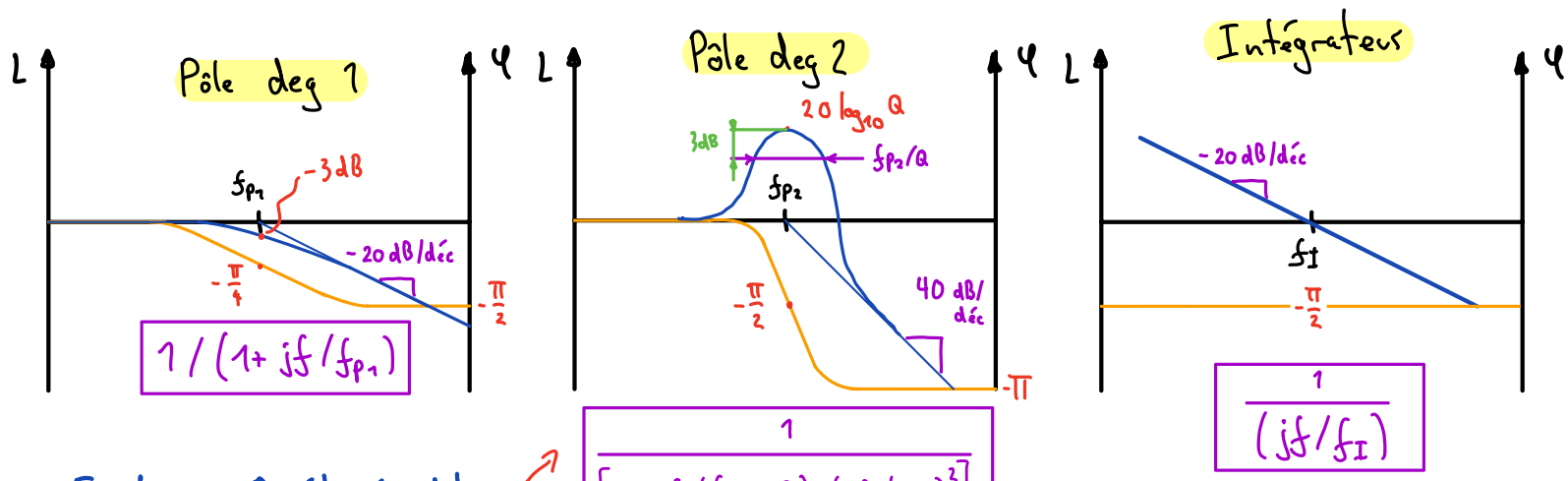
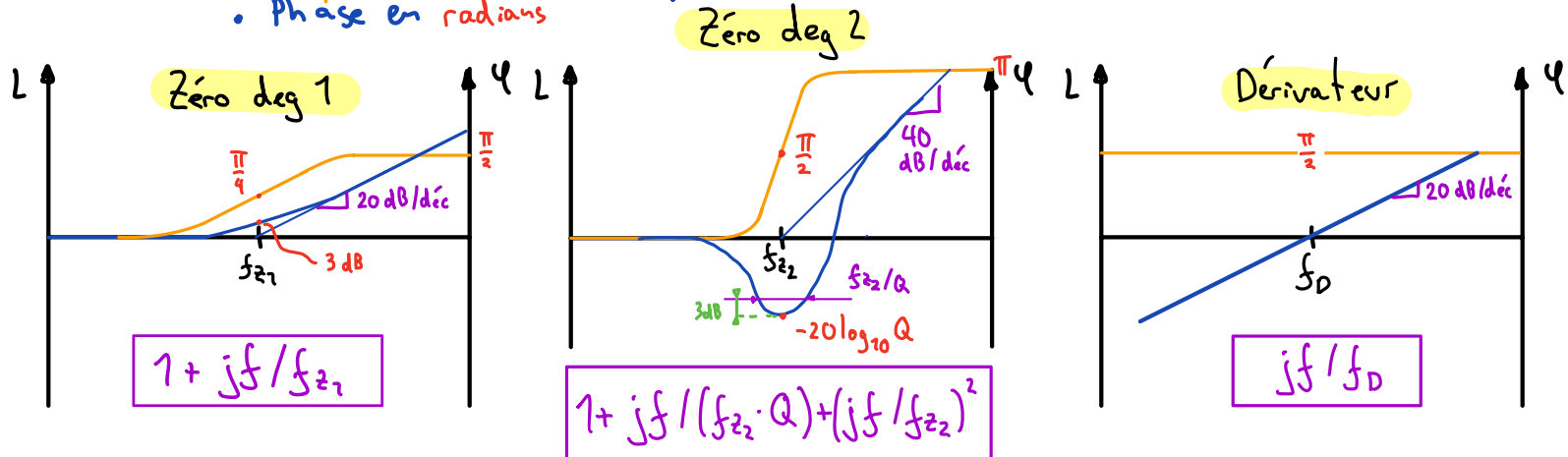
1. jf / f_1 f_1, f_2 : Fréquences caractéristiques dépendent de R, L, C du circuit
2. $1 + jf/f_2$
3. $1 + jf/(f_3 \cdot Q) + (jf/f_3)^2$

Q: Facteur de qualité (sans dimension, dépend de R, L, C)

Représentation des fonctions de transfert (ex : circuit passe-bande, passe-bas...)

=> Diagramme de Bode

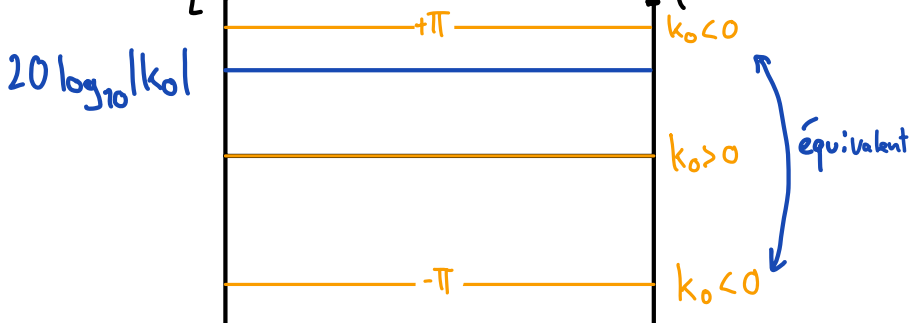
- Axe de fréquence logarithmique
- Amplitude A_V exprimée par son niveau L_V [dB] $L_V = 20 \log_{10} |A_V|$
- Phase en radians



Facteur Q élevé dit
=> fort pique d'amplitude
et faible bande passante,
pente de la phase est forte

Bande passante à 3 dB
d'un pôle/zéro de degré 2

$$\Delta f_{3\text{dB}} = \frac{f_{p_2}}{Q} \quad \text{ou} \quad \Delta f_{3\text{dB}} = \frac{f_{z_2}}{Q}$$



Représentation en niveau et phase

Le niveau et la phase d'une fonction de transfert sont la somme des niveaux et phases de ses facteurs.

=> Addition des comportements asymptotiques.

Module et arg de la fonction de transfert

$|H(f)|$ indique le gain en fonction de la fréq.

$\varphi = \arg(H(f))$ indique le déphasage entre entrée et sortie

Evaluer la fonction de transfert

Evaluer pour $f \rightarrow \infty$ ou $f \rightarrow 0$

Evaluer directement dans la fonction de transfert

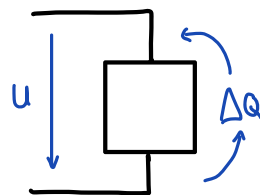
$$G(f \rightarrow \infty) = \frac{R_1}{R_1 + R_2} \cdot \frac{(1 + j2\pi f \frac{L}{R_1 + R_2})}{(1 + j2\pi f \frac{L}{R_1 + R_2})}$$

$$= \frac{R_1}{R_1 + R_2} \cdot \frac{R_1 + R_2}{R_1} = 1$$

$$20 \log |G(f \rightarrow \infty)| = 0 \text{ dB}$$

Puissance et énergie

Cas général :



L'énergie d'un bipôle augmente si sa charge ou sa tension augmente.

⚠ La charge dépend aussi de la tension et vice-versa.
 $U(Q)$, $Q(U)$

Changement de tension:

$$U = U(Q)$$

$$W = \int_0^Q U(Q) dQ$$

Q variable d'intégration

Changement de charge:

$$Q = U(Q)$$

$$W = \int_0^U Q(\tilde{U}) d\tilde{U}$$

\tilde{U} variable d'intégration

$S: W > 0 \rightarrow$ le bipôle gagne en énergie

Puissance cas général :

$$P = \frac{dW(t)}{dt} \Leftrightarrow W(t) = \int_{-\infty}^t P(\tilde{t}) d\tilde{t}$$

Puissance moyenne dans un interval temporelle

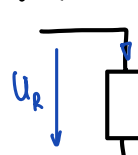
$$\bar{P}(t_1, t_2) = \frac{1}{t_2 - t_1} \int_{t_1}^{t_2} P(t) dt$$

\bar{P} avec signal périodique

$$\bar{P} = \frac{1}{T} \int_{t_0}^{t_0+T} P(t) dt$$

Energie et puissance \rightarrow signal cosinusoidal

Résistance



$$P(t) = \frac{\hat{U}_R^2}{2R} \cdot \cos^2(2\pi f t + \varphi_{U_R})$$

$$\text{Puissance moyenne: } \bar{P}_R = \frac{\hat{U}_R^2}{2R} = \frac{U_R^2}{R} \quad U = \frac{\hat{U}}{\sqrt{2}}$$

Impédance Z

$$\underline{Z} = Z \cdot e^{j\varphi}$$

$$U(t) = \frac{\hat{U}}{Z} \cdot \cos(2\pi f t)$$

$$I(t) = \left(\frac{\hat{U}}{Z}\right) \cdot \cos(2\pi f t - \varphi)$$

$$P(t) = \frac{\hat{U}}{2Z} \left[\cos \varphi + \cos(2\pi f t - 2\varphi) \right]$$

$$\bar{P} = \frac{\hat{U}^2}{2Z} \cdot \cos \varphi = \frac{1}{2} Z \hat{I}^2 \cos \varphi$$

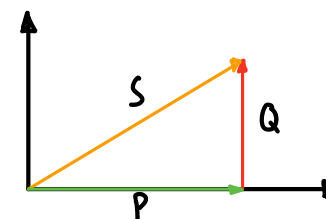
$$\bar{P} = \frac{|U|^2}{Z} \cos \varphi = Z \cdot |\underline{I}|^2 \cos \varphi$$

module complexe

Puissance active $P = |U| \cdot |\underline{I}| \cdot \cos \varphi$

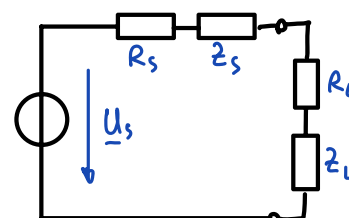
Puissance réactive $Q = |U| \cdot |\underline{I}| \cdot \sin \varphi$

Puissance apparente $S = |U| \cdot |\underline{I}|$



Adaptation de puissance

Puissance max disponible :



$$P_{av} = \frac{1}{4} \cdot \frac{|U_s|^2}{R_s}$$

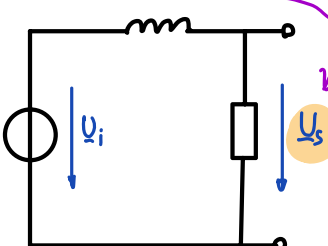
avec $R_L = R_s$

$$X_L = -X_s$$

$$\text{et } Z_L = Z_s^*$$

conjugué complexe

⚠ U_s : tension de source à vide



$$Z_s = \frac{(2\pi f)^2 RL^2}{R^2 + (2\pi f L)^2} + j \frac{2\pi f R^2 L}{R^2 + (2\pi f L)^2}$$

$$P_{av} = \frac{1}{4} \cdot \frac{R^2 + (2\pi f L)^2}{(2\pi f)^2 RL^2} \cdot \frac{\hat{U}_i^2}{2}$$

Méthode nodale modifiée

- Choix d'un noeud de référence
- Définir les potentiels des autres noeuds par rapport au potentiel de référence
- Pour chaque source de tension idéale, définir son courant comme inconnue additionnelle
- Poser les équations de Kirchhoff des noeuds en terme des potentiels des noeuds, des courants des sources de courant (Paramètres connus) et des courants des sources de tension (inconnus)
- Exprimer les tension des sources idéales de tension en terme des potentiels de noeuds

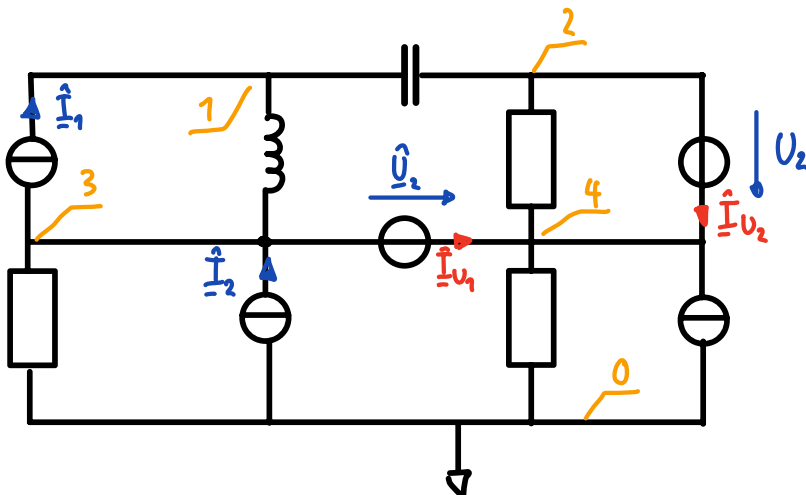
Fonctionne aussi avec des sources cosinusoidales

Circuit à N noeuds →

N-1 équations nodales en N-1 potentiels et M courants de sources de tension

M-1 équations supplémentaires en les potentiels de noeud exprimant les tension de source.

Le noeud de référence est arbitraire, on prendra celui qui a le plus de connexions !



Consider the circuit shown at figure 1 composed of the current-source providing the time-dependent current $I_s(t)$, of the two resistors with resistances $R_1 = 22 \text{ k}\Omega$, $R_2 = 10 \text{ k}\Omega$ and of a coil-inductor with inductance $L = 22 \text{ mH}$. The source-current's initial-value is $I_{s0} = 15 \mu\text{A}$ and it jumps at t_0 abruptly to its final value $I_{s\infty} = 55 \mu\text{A}$.

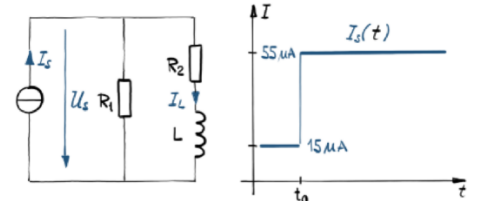


Figure 1: Schematic of Circuit of Exercise № 1 on transient Behaviour

- Determine the initial state I_{L0} of the inductor-current $I_L(t)$ for $t < t_0$.
 - Determine the final state $I_{L\infty}$ of the inductor-current $I_L(t)$ for $t \rightarrow \infty$.
 - Determine the inductor-voltage $U_L(t_0^+)$ immediately after the abrupt change of source-current and the inductor-current's slope m_L at the switching-instant t_0 .
 - Determine the time-constant τ of the circuit's settling-behaviour and represent the inductor-current $I_L(t)$ graphically as function of time t on the empty chart herebelow (figure 2).
 - Represent the source-voltage $U_S(t)$ as function of time on the empty chart herebelow (figure 3).
1. $I_{L0} = R_1 \cdot I_{s0} / (R_1 + R_2) = 10.3 \mu\text{A}$
 2. $I_{L\infty} = R_1 \cdot I_{s\infty} / (R_1 + R_2) = 37.8 \mu\text{A}$
 3. $I_L(t)$ is continuous over time, especially at $t_0 \Rightarrow I_L(t_0^-) = I_R(t_0^-) + I_R(t_0^+) \Rightarrow I_{s0} = U_S(t_0^-) / R_1 + I_{L0} \Rightarrow U_S(t_0^-) = R_1(I_{s0} - I_{L0})$. On the other hand one has $U_S(t_0^+) = U_{R2}(t_0^+) + U_L(t_0^+) \Rightarrow R_1 \cdot (I_{s\infty} - I_{L0}) = R_2 I_{L0} + U_L(t_0^+) \Leftrightarrow U_L(t_0^+) = R_1 \cdot (I_{s\infty} - I_{L0}) - R_2 I_{L0} = 880 \text{ mV}$. Finally $m_L = U_L(t_0^+) / L = 40.0 \mu\text{A}/\mu\text{s}$
 4. $\tau = |I_{L\infty} - I_{L0}| / m_L = 688 \text{ ns}$. Alternative evaluation using equivalent resistance seen by coil-inductor: $\tau = L / (R_1 + R_2) = 688 \text{ ns}$. See below for the graphical representation of the inductor-current (figure 4).
 5. $I_S = I_{R1} + I_L \Rightarrow U_S = R_1 \cdot (I_{s\infty} - I_L)$. See below for the graphical representation of the source-voltage (figure 5).

Exercise № 2

Given the circuit shown at figure 2.a and the time-dependent source-voltage U_s shown at figure 2.b

- evaluate the initial state I_{L0} of the inductor-current I_L and $U_{0,0}$ of the output-voltage U_o ;
- evaluate the final state $I_{L\infty}$ of the inductor-current I_L and $U_{0,\infty}$ of the output-voltage U_o ;
- evaluate the time-dependency of the output-voltage U_o and its time-constant τ .

Solution

a) $I_{L0} = 0$, $U_{0,0} = 0$

b) $I_{L\infty} = \hat{U}_s / R_1 = 1 \text{ mA}$; $U_{0,\infty} = 0 \text{ V}$

c) $I_L(t) = I_{L\infty} [1 - e^{-(t-t_0)/\tau}]$, $m_I = U_L(t_0) / L = \frac{\hat{U}_s}{R_1 + R_2} \hat{U}_s / L$, $\tau = \frac{I_{L\infty} - I_{L0}}{m_I} = \frac{\hat{U}_s \cdot (R_1 + R_2) L}{R_1 \cdot \hat{U}_s} = \frac{L}{R_1 || R_2} = 2.2 \mu\text{s}$

$(U_s - U_o) / R_1 = I_L + U_o / R_2$ (Kirchhoff's nodal equation)

$U_s / R_1 - I_L = \left(\frac{1}{R_1} + \frac{1}{R_2} \right) U_o = \frac{R_1 + R_2}{R_1 R_2} U_o \Rightarrow U_o = \frac{R_2}{R_1 + R_2} U_s - \left(\frac{R_1 + R_2}{R_1 R_2} \right) I_L$

$U_o(t_0) = \frac{R_2}{R_1 + R_2} \hat{U}_s = 688 \text{ mV}$, $U_o(t \rightarrow \infty) = 0 \text{ mV}$

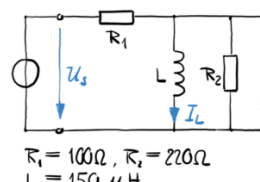
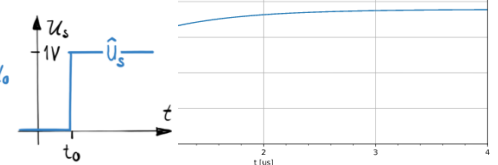
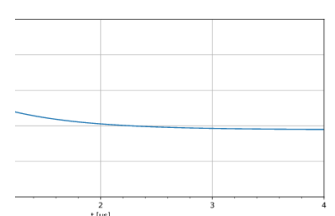


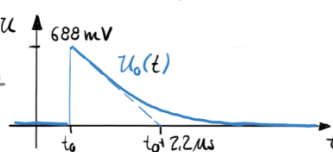
Figure 2

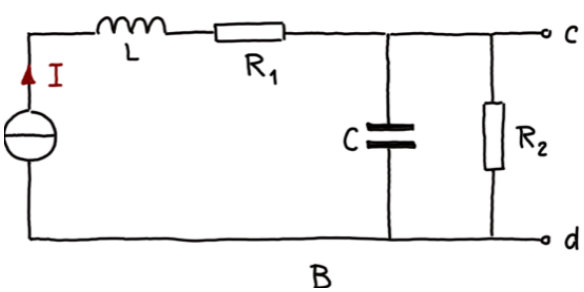
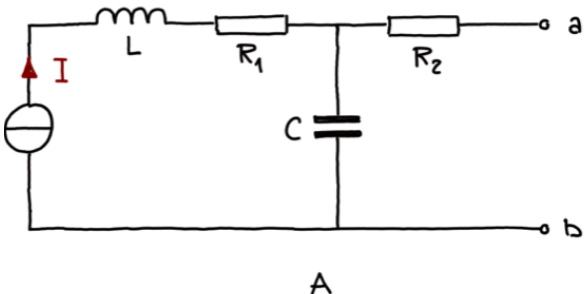


Time of Exercise № 1 on transient Behaviour



Time of Exercise № 1 on transient Behaviour





Consider the circuit shown at figure 5 composed of three resistors with resistances $R_1 = 22 \text{ k}\Omega$, $R_2 = 10 \text{ k}\Omega$ and $R_3 = 56 \text{ k}\Omega$ and of a capacitor with capacitance $C = 1.0 \text{ nF}$.

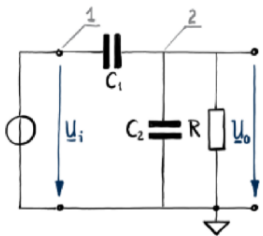


Figure 7: Schematic of Circuit of Exercise N° 3 on complex Transfer-Functions

- Establish the equations of the circuit of figure 7 according to the method of nodal-potential-analysis with the potentials V_1 and V_2 of nodes N° 1 and 2 as unknowns. If you have to introduce additional unknowns, specify and indicated them on the schematic of figure 7.
- Determine the expression of the transfer-function $\frac{U_o}{U_i}$, specify and evaluate its characteristic frequencies and represent its level and phase on the corresponding charts hereafter (figures 10 and 11).

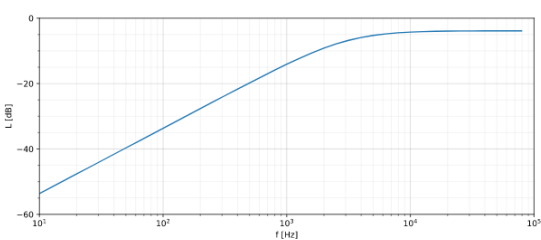
The following circuit-equations are obtained by applying the nodal-potential-analysis:

$$\begin{aligned} I_1 + j2\pi f C_1(V_2 - V_1) &= 0 & \text{Node 1} \\ j2\pi f C_1(V_1 - V_2) - V_2/R - j2\pi f C_2 V_2 &= 0 & \text{Node 2} \\ V_1 = U_i & \quad \text{Ideal Voltage-Source} \end{aligned}$$

The transfer-function may be derived from the circuit-equations found above and identifying $V_2 = U_o$ or by using ad-hoc impedance-simplification. The derivation shown hereafter starts from the formula of the voltage-divider and subsequently brings the expression in a more useable form.

$$\begin{aligned} \Delta V = \frac{U_o}{U_i} &= \frac{R/(1/(j2\pi f C_2))}{1/(j2\pi f C_1) + R/(1/(j2\pi f C_2))} = \frac{R/(j2\pi f C_2)}{R+1/(j2\pi f C_2)} \\ \Delta V &= \frac{R/(1+j2\pi f RC_2)}{1/(j2\pi f C_1) + R/(1+j2\pi f RC_2)} = \frac{j2\pi f RC_1/(1+j2\pi f RC_2)}{1+j2\pi f RC_1/(1+j2\pi f RC_2)} \\ \Delta V &= \frac{j2\pi f RC_1}{1+j2\pi f (RC_1 + C_2)} = \frac{jf/f_p}{1+f/f_p} \end{aligned}$$

with $f_p = \frac{1}{2\pi R(C_1 + C_2)}$



a Tension à vide U_{ab} et impédance interne Z_{ab} : $U_{ab} = -jI/(2\pi f C) = 2.56 \text{ V } e^{-j\pi/2}$
 $Z_{ab} = R_2 - j/(2\pi f C) = 330 \Omega - j362 \Omega$

b Tension à vide U_{cd} et impédance interne Z_{cd} :
 $U_{cd} = \frac{R_2/(j2\pi f C)}{R_2 + 1/(j2\pi f C)} \cdot I = \frac{R_2}{1+j2\pi f R_2 C} \cdot I = \frac{R_2}{\sqrt{1+(2\pi f R_2 C)^2}} \cdot I \cdot e^{j\arctan(-2\pi f R_2 C)} = 1.72 \text{ V } e^{-j0.74}$
 $Z_{cd} = \frac{R_2}{1+j2\pi f R_2 C} = \frac{R_2}{1+(2\pi f R_2 C)^2} (1-j2\pi f R_2 C) = 180 \Omega - j164 \Omega$

Consider the circuit shown at figure 6 composed of three resistors with resistances $R_1 = 22 \text{ k}\Omega$, $R_2 = 10 \text{ k}\Omega$ and $R_3 = 56 \text{ k}\Omega$ and of a capacitor with capacitance $C = 1.0 \text{ nF}$.

- Evaluate the circuit's resistance $R_{AB,0}$ and reactance $X_{AB,0}$ (the real and imaginary part of its impedance) between the terminals A and B in the case where the frequency f tends towards zero.
- Evaluate the circuit's resistance $R_{AB,\infty}$ and reactance $X_{AB,\infty}$ (the real and imaginary part of its impedance) between the terminals A and B in the case where the frequency f tends towards infinity.
- Evaluate the circuit's resistance $R_{AB}(f_1)$ and its reactance $X_{AB}(f_1)$ at frequency $f_1 = 10 \text{ kHz}$.
- Assuming that the voltage between terminals A and B is a cosine alternating signal with frequency $f_1 = 10 \text{ kHz}$ and RMS-voltage of $U_{AB} = 2 \text{ V}$, determine the active power P dissipated inside the two-terminal-device between terminals A and B.

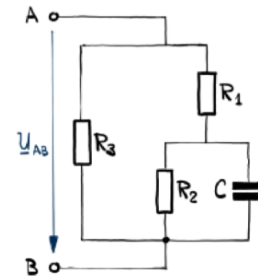


Figure 6: Schematic of Circuit of Exercise N° 2 on complex Representation of AC-Circuits

- $R_{AB,0} = R_3||(R_1 + R_2) = R_3 \cdot (R_1 + R_2)/(R_1 + R_2 + R_3) = 20.4 \text{ k}\Omega \quad X_{AB,0} = 0 \Omega$
- $R_{AB,\infty} = R_3||R_1 = R_1 R_3/(R_1 + R_3) = 38.5 \text{ k}\Omega \quad X_{AB,\infty} = 0 \Omega$
- The derivation of the frequency-dependent expression of the impedance Z_{AB} is shown below. The following numerical values are obtained for the equivalent resistance $R_\Pi = 20.4 \text{ k}\Omega$ for the zero-frequency $f_z = 23.1 \text{ kHz}$ and for the pole-frequency $f_p = 18.0 \text{ kHz}$. The following numerical values are obtained for the circuit's resistance $R_{AB} = 19.3 \text{ k}\Omega$ for its reactance $X_{AB} = -1.94 \text{ k}\Omega$ and for the modulus of its impedance $|Z_{AB}| = 19.4 \text{ k}\Omega$
- The derivation of the active power dissipated inside the circuit is shown below. The following numerical value is obtained for said active power $P = 205 \mu\text{W}$

Starting-point is the series-parallel-connection of impedances that yield the overall impedance:

$$\begin{aligned} Z_{AB} &= \frac{R_3 \cdot Z_{RC}}{R_3 + Z_{RC}} \quad \text{with} \quad Z_{RC} = R_1 + \frac{R_2/(j2\pi f C)}{R_2 + 1/(j2\pi f C)} = (R_1 + R_2) \cdot \frac{1+j2\pi f(R_1 \parallel R_2)}{1+j2\pi R_2 C} \\ Z_{AB} &= \frac{R_3(R_1 + R_2)[1+j2\pi f(R_1 \parallel R_2)C]/(1+j2\pi f R_2 C)}{R_3 + (R_1 + R_2)[1+j2\pi f(R_1 \parallel R_2)C]/(1+j2\pi f R_2 C)} \\ Z_{AB} &= [R_3 \parallel (R_1 + R_2)] \frac{1+j2\pi f(R_1 \parallel R_2)C}{1+j2\pi f[R_2 \parallel (R_1 + R_3)]C} = R_\Pi \frac{1+jf/f_z}{1+jf/f_p} \\ R_\Pi &= R_3 \parallel (R_1 + R_2) \quad f_z = \frac{1}{2\pi(R_1 \parallel R_2)C} \quad f_p = \frac{1}{2\pi[R_2 \parallel (R_1 + R_3)]C} \end{aligned}$$

This result is further developed to find the frequency-dependent expressions of resistance and reactance and of the impedance's modulus:

$$\begin{aligned} Z_{AB} &= R_\Pi \frac{(1+jf/f_z)(1-jf/f_p)}{1+(f/f_p)^2} = R_\Pi \frac{1+f^2/(f_z f_p)}{1+(f/f_p)^2} + jR_\Pi \frac{f(1/f_z - 1/f_p)}{1+(f/f_p)^2} \\ R_{AB} &= R_\Pi \frac{1+f^2/(f_z f_p)}{1+(f/f_p)^2} \\ X_{AB} &= R_\Pi \frac{f(1/f_z - 1/f_p)}{1+(f/f_p)^2} \\ |Z_{AB}| &= R_\Pi \frac{|1+jf/f_z|}{|1+jf/f_p|} = R_\Pi \sqrt{\frac{1+(f/f_z)^2}{1+(f/f_p)^2}} \end{aligned}$$

For the active power, the development is shown hereafter:

$$P = U_{AB} \cdot I_{AB} \cdot \cos\varphi = \frac{U_{AB}^2 \cos[\arg(Z_{AB})]}{|Z_{AB}|}$$

Using $\cos[\arg(Z_{AB})] = \frac{R_{AB}}{|Z_{AB}|}$ it becomes

$$P = \frac{U_{AB}^2 R_{AB}}{|Z_{AB}|}$$